



БИООРГАНИЧЕСКАЯ ХИМИЯ

том 13 * № 8 * 1987

УДК 577.113.6:577.152.31'27'17

СТУПЕНЧАТЫЙ СИНТЕЗ ОЛИГОНУКЛЕОТИДОВ

XXXIV. ПРЕПАРАТИВНЫЙ СИНТЕЗ ТРИНУКЛЕОЗИДДИФОСФАТОВ
И БОЛЕЕ ДЛИННЫХ ОЛИГОРИБОНУКЛЕОТИДОВ
С ИММОБИЛИЗОВАННЫМИ РИБОНУКЛЕАЗАМИ

Женодарова С. М., Смолянинова О. А., Соболева Н. А.,
Хабарова М. Н.

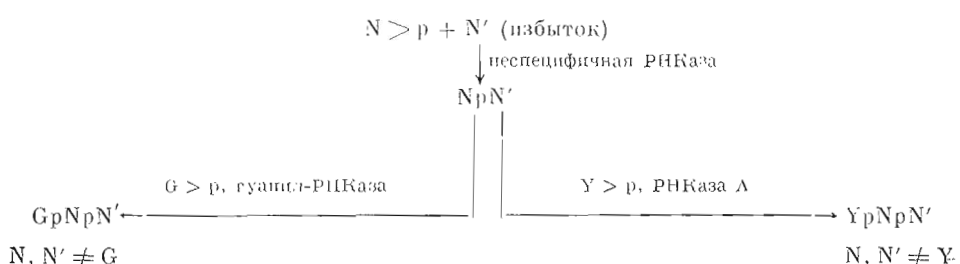
Институт биологической физики Академии наук СССР,
г. Пущино Московской обл.

Иммобилизованные гуанинспецифичные рибонуклеазы *Aspergillus clavatus* (C₂), *A. oryzae* (T₁) и *Bacillus intermedius* 7P(Bi) были применены для препаративного синтеза 10 тринуклеозиддифосфатов, трех тетрануклеотидов и одного пентануклеотида, имеющих на 5'-конце единственный остаток гуаниловой кислоты. Целесообразность использования того или иного фермента определяется нуклеотидным составом синтезируемого олигонуклеотида.

Синтетические олигорибонуклеотиды широко используются как модельные соединения для решения различных задач, стоящих перед молекулярной биологией и биоорганической химией [2]. Обычно исходными блоками для синтеза олигорибонуклеотидов служат ди- и тринуклеотиды. Тринуклеотиды нужны и сами по себе, например как минимальные субстраты при изучении субстратной специфичности РНК-лигазы T4 [3, 4], в качестве кодонов при изучении различных аспектов биосинтеза белка [5] и т. д. Удобным и эффективным методом их получения является энзиматический синтез с использованием рибонуклеаз [6].

Синтез тринуклеозиддифосфатов гетерогенного состава, катализируемый рибонуклеазами, можно представить следующим образом:

Схема 1



В соответствии со схемой 1 могут быть получены 28 тринуклеозиддифосфатов, имеющих на 5'-конце гуанозин (12) или пиримидиновый нуклеозид (16), на 3'-конце — любой нуклеозид, а в «центре» — аденоzin, цитидил или уридин в первом случае и аденоzin или гуапозин во втором. Еще 16 тринуклеозиддифосфатов, имеющих на 5'-конце два одинаковых нуклеотидных остатка, можно синтезировать по схеме 2:

Схема 2



Остальные 20 из 64 возможных тринуклеозиддифосфатов рациональнее

Сообщение XXXIII см. [1]. Сокращения: СМ-рибонуклеаза — рибонуклеаза, ковалентно связанный с СМ-целлюлозой; СМ-А, СМ-Pb₂, СМ-T₁, СМ-Bi — иммобилизованные на СМ-целлюлозе рибонуклеазы: панкреатическая, *Penicillium brevicompactum*, T₁ и *Bacillus intermedius* 7P; sil-C₂ — иммобилизованная на силохроме рибонуклеаза C₂ *Aspergillus clavatus*; остальные сокращения соответствуют рекомендациям ИЮПАК.

Таблица 1

Макромасштабный синтез динуклеозидмонофосфатов

Динуклеозид-монофосфат	[Донор], М	[Акцептор] [Донор]	СМ-РНКаза *, мг/мл	Время, ч	Выход, %	Всего синтезировано, мг
ApC	0,26	3	28	72	22	74
ApU	0,25	6	16	90	18	57
UpU	0,25	5	12,5	3	10	23
CpU	0,25	4	12,5	3	11	36
CpC	0,25	3	12,5	1	11	30
UpC **	0,06	8	0,2	24	64	720

* ApC и ApU синтезировали с СМ-Pb₂; UpU, CpU, CpC, UpC — с СМ-А.

** Синтез проводили при -15° С с нативной панкреатической рибонуклеазой.

Таблица 2

Влияние концентрации субстратов на синтез тринуклеозиддифосфатов GpNpN'

GpNpN'	Иммобилизованная РНКаза		[G>p]	[NpN'] M	Выход, %
	тип	концентрация, мг/мл			
1. Изменение концентрации акцептора при постоянной концентрации донора					
GpUpC	CM-Bi	4,1 7,5 4,1	0,06 0,06 0,06	0,3 0,48 0,6	17 29 30
GpUpU	CM-T ₁	83 83 83 sil-C ₂ CM-Bi	0,1 0,1 0,1 0,1 0,1	0,05 0,2 0,8 0,8 0,8	6 41 25 39 17
2. Изменение концентрации донора при постоянной концентрации акцептора					
GpCpU	sil-C ₂	75 75	0,09 0,35	0,7 0,7	34(19) 12(22)
3. Изменение концентрации субстратов при эквимольном отношении [G>p]/[NpN']					
GpUpU	CM-T ₁	83 83 83	0,1 0,5 1,0	0,1 0,5 1,0	6 5 6
4. Изменение концентрации субстратов при постоянном отношении [G>p]/[NpN']					
GpUpC	sil-C ₂	12 12 12	0,02 0,05 0,1	0,16 0,4 0,8	19 24 34
GpUpC	CM-T ₁	10	0,02	0,2	25
	CM-Bi	4,1 7,5	0,03 0,08	0,3 0,8	30 53
GpCpU	CM-T ₁	50 80	0,04 0,1	0,32 0,8	13 15

* Выход определен на субстрат, взятый в недостатке; в скобках приведены выходы, рассчитанные на израсходованный акцептор фосфата.

получать, применяя для парацивания динуклеозидмонофосфата полинуклеотидфосфорилазу [6].

В литературе описан синтез тринуклеозиддифосфатов с помощью различных рибонуклеаз [7—9], однако для большинства из них исследования были проведены лишь в аналитическом варианте и только панкреатическая рибонуклеаза была применена для препаративных целей [10, 11].

В настоящей работе мы приводим результаты использования в макромасштабном синтезе тринуклеозиддифосфатов и более длительных олигогибонуклеотидов иммобилизованных гуанилспецифичных рибонуклеаз As-

pergillus clavatus (C_2), *Bacillus intermedius* 7P(Bi) и T_1 по схеме 1. Ранее нами было показано, что синтетические активности связанных с карбо- α -симметилцеллюлозой рибонуклеаз T_1 [1] и Bi [12], а также иммобилизованной на силохроме рибонуклеазы C_2 [13] не отличаются от синтетических активностей нативных ферментов. Препараторы характеризуются высокой стабильностью как в условиях многократного использования, так и при хранении. Все это позволяло надеяться, что препартивный синтез олигонуклеотидов осуществим в условиях, близких к найденным для нативных ферментов, при одновременном обеспечении эффективности и технологичности разрабатываемой методики.

Тринуклеозидифосфаты синтезировали из гуанозин-2',3'-циклофосфата и динуклеозидмонофосфатов, устойчивых к действию гуанилрибонуклеаз. Необходимые динуклеозидмонофосфаты были получены с помощью неспецифической рибонуклеазы Pb₂ (ApC, ApU) или панкреатической рибонуклеазы (UpU, CpU, CpC, UpC), ковалентно связанных с СМ-целлюлозой (табл. 1) [14, 15].

Важные параметры, влияющие на выход олигонуклеотида,— начальные концентрации субстратов и фермента. Выбор этих величин был сделан с учетом результатов, полученных при работе с нативными ферментами [8, 12, 16]. Анализ данных, приведенных в табл. 2, показывает, что включение в продукт субстрата, взятого в недостатке, увеличивается с ростом концентрации акцептора при постоянной концентрации донора фосфата, достигая некоторого плато (практически уже нет разницы между 8- и 10-кратным избытком). Напротив, повышение концентрации донора фосфата при постоянной концентрации акцептора может вызывать снижение выхода (см. синтез GpCpU в табл. 2). При постоянном отношении [акцептор]/[донор] увеличение концентрации субстратов (от 0,18 до 0,9 М) может повысить выход почти вдвое (см. синтез GpUpC с sil-C₂ и СМ-Bi в табл. 2), хотя и не для любых субстратов (например, для GpCpU такого эффекта не наблюдали). Дальнейшее повышение концентрации субстратов нежелательно из-за образования гелей в процессе инкубации с ферментом при 0°С — явления, хорошо известного для гуанинодержащих соединений [17]. Это снижает выход тринуклеозидифосфата и осложняет разделение реакционной смеси. Агрегацию при высоких концентрациях реагентов как причину уменьшения $K_{\text{кат}}$ реакции образования межнуклеотидной связи отмечали еще авторы работы [18].

Таким образом, наиболее высокие выходы были получены при значительном избытке акцептора фосфата. Избыток акцептора повышает также специфичность реакции, так как препятствует образованию побочных продуктов за счет конденсации G>p. Это справедливо для всех трех ферментных препаратов.

Однако из двух субстратов, участвующих в синтезе, акцептор фосфата (динуклеозидмонофосфат) менее доступен, поэтому для более полного его использования авторы работы [9] рекомендуют вести синтез при эквимольном отношении субстратов. Мы синтезировали GpUpU, соблюдая это условие и меняя начальные концентрации субстратов от 0,1 до 1,0 М (табл. 2). Во всех случаях выход был низким (~6%), а включение димерного акцептора в продукт в расчете на израсходованный акцептор (17%) сопоставимо с той величиной, которая была получена при проведении синтеза GpUpU в условиях 8-кратного избытка (15%). Принимая во внимание сложность работы с концентрированными растворами субстратов и появление олигогуанилатов в реакционной смеси при эквимольном отношении субстратов, мы считаем более целесообразным работать с избытком акцептора, поскольку последний довольно легко регенерируется и может быть использован повторно.

Используя полученные данные, мы провели препартивный синтез 10 различных тринуклеозидифосфатов, применив для этого иммобилизованные препараты рибонуклеаз C_2 , Bi и T_1 и варьируя состав акцепторов фосфата, в качестве которых служили динуклеозидмонофосфаты типа YpY, YpA, ApY и ApA (табл. 3). Выход тринуклеозидифосфата сильно зависит от структуры акцептора: наибольшие выходы были получены с

Таблица 3

Синтез тринуклеозиддифосфатов GpNpN' с иммобилизованными гуанил-РНКазами

GpNpN'	Гуанил-РНКаза		[G>p]	[NpN']	Выход GpNpN'	Возврат NpN'
	тип	концентрация, мк/мл	M	%		
GpCpU	sil-C ₂	75	0,09	0,72	33	78
	CM-Bi	10	0,1	0,8	24	90
	CM-T ₁	80	0,1	0,8	14	70
GpCpC	sil-C ₂	75	0,1	0,8	40	70
	CM-Bi	10	0,1	0,8	26	84
	CM-T ₁	83	0,1	0,8	23	72
GpCpA	C ₂ *		0,04	0,02	10	72
GpUpU	sil-C ₂	80	0,1	0,8	19	96
	CM-Bi	10	0,1	0,8	17	90
	CM-T ₁	83	0,1	0,8	25	81
GpUpC	sil-C ₂	75	0,1	0,8	34	77
	CM-Bi	7,5	0,1	0,8	53	75
	CM-T ₁	10	0,02	0,2	25	—
GpUpA	sil-C ₂	75	0,1	0,3	13	68
	CM-T ₁	100	0,1	0,16	8	80
GpApU	sil-C ₂	30	0,05	0,4	14	90
	CM-Bi	3,3	0,03	0,24	6 **	—
	CM-T ₁	30	0,02	0,2	8	70
GpApC	sil-C ₂	10	0,02	0,2	12	61
	CM-T ₁	24	0,02	0,2	12	70
	CM-Bi	10	0,1	0,8	9	82
GpApA	sil-C ₂	30	0,05	0,4	11	—
	CM-Bi	15	0,02	0,16	10	65

* Синтез проводили с лативной РНКазой C₂, концентрация которой в реакционной смеси составляла 6 ед. акт./мл.

** Через 2 ч инкубации при 0° С реакционная смесь превратилась в гель, который не разрушался при центрифугировании.

динуклеозидмонофосфатами типа YpY. Эффективность реакции для акцепторов с пиримидиновым нуклеозидом на 3'-конце в зависимости от структуры 5'-концевого нуклеозида меняется в следующем порядке: C₂>GpCpU>GpApC>GpUpC>GpUpA>GpApU>GpCpC>GpCpA>GpUpU>GpApA. Аналогично проявляется влияние 3'-концевого нуклеозида, если на 5'-конце акцептора находится пиримидиновый нуклеозид. Наименьшие выходы были получены с акцепторами, в состав которых входит аденоzin, независимо от положения последнего в динуклеозидмонофосфате. Попытка применить акцепторы, имеющие на 3'-конце гуанозин, была неудачной: реакционные смеси, содержащие 0,05 М G>p, 0,4 М CpG и sil-C₂ или CM-Bi, через 2 ч инкубации при 0° С превратились в гели, которые не разрушались при центрифугировании, что затрудняло отделение ферментов; выход составил в обоих случаях не более 1%.

Эти результаты можно объяснить, рассматривая синтез межнуклеотидной связи как реакцию, обратную стадии деполимеризации [6], и принимая во внимание развиваемые в ряде работ представления о существовании в рибонуклеазе T₁ участков, ответственных за связывание гуанина (участок первичного связывания), аденина (пурина) и пиримидиновых

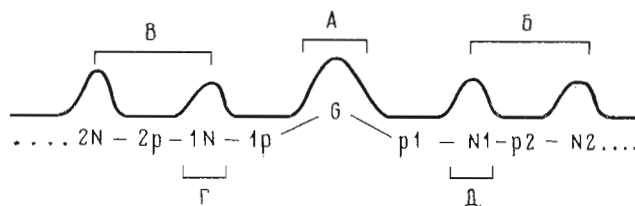


Рис. 1. Схематическое изображение участков связывания субстратов рибонуклеазой T₁ в соответствии с работами [19–21]: А – участок первичного связывания (донор фосфата); Б – участок «правильного» связывания акцептора (динуклеозидмонофосфата); В – участок «неправильного» связывания акцептора (динуклеозидмонофосфата); Г и Д – участки вторичного связывания: Г – аденин (пурин) специфичный, Д – цитозинспецифичный

оснований (участки вторичного связывания) (см. рис. 1) [19–21]. Высокая степень гомологии РНКаз T₁ и C₂ [22], подобие пространственной организации этих ферментов [23] и, наконец, структурное сходство виесклеточных РНКаз прокариот и эукариот, в частности РНКаз Ві и С₂ [24], позволяют считать, что подобные представления могут быть справедливы и для рибонуклеаз С₂ и Ві.

На рис. 1 схематически представлено взаимодействие субстратов с рибонуклеазой T₁: 1N — пуринспецифичный, возможно аденоциспецифичный, участок [19, 20]; N1 — место связывания «уходящей группы», т. е. нуклеозида, участвующего в расщепляемой (или синтезируемой) фосфодиэфирной связи 5'-гидроксилом [19, 21] — «проявляет» предпочтение к цитидину. Обсуждаемая схема подтверждается данными, недавно полученными в работе [25], из которых следует, что РНКаза T₁ связывает в активном центре три нуклеотидных остатка.

В процессе синтеза тринуклеозиддифосфата донор фосфата (G>p) всегда должен связываться в участке первичного связывания, в то время как акцептор фосфата — динуклеозидмонофосфат — может быть связан с ферментом или через N1-участок («правильное» связывание), или через 1N-участок («неправильное» связывание). Таким образом, возникают два типа фермент-субстратных комплексов, различающихся положением субстратов на ферменте: продуктивный и непродуктивный комплексы. Наличие в активном центре аденин(пурин)специфичного участка связывания в положении, соответствующем непродуктивному комплексу, по-видимому, приводит к тому, что динуклеозидмонофосфаты, имеющие в своем составе аденоzin, чаще образуют непродуктивный комплекс, чем пиридиновые динуклеозидмонофосфаты. Участок связывания «уходящей группы» (N1), проявляющий предпочтение к цитидину, при образовании продуктивного комплекса в случае синтеза тринуклеозиддифосфата должен использоваться для связывания 5'-концевого нуклеозида акцептора. Действительно, наиболее высокие выходы были получены с акцепторами, имеющими цитидин на 5'-конце. Одновременное увеличение начальных концентраций субстратов приводит к насыщению участков первичного и вторичного связывания, т. е. к повышению концентрации продуктивного комплекса и соответственно к повышению выхода тринуклеозиддифосфатов. Точно так же при избытке акцептора в реакционной смеси количество «правильно» связанного акцептора возрастает, т. е. растет концентрация продуктивного комплекса и соответственно выход тринуклеозиддифосфата.

В качестве примера макромасштабного синтеза тринуклеозиддифосфата с участием иммобилизованной гуанилрибонуклеазы приведем синтез GpUpC — исходного блока, необходимого для получения более крупных фрагментов D-ветви дрожжевой валиновой тРНК_i [26]: из 8 мг (22 мкмоль) гуанозин-2',3'-циклофосфата и 123 мг (220 мкмоль) уридилил-(3'-5')-цитидина в присутствии рибонуклеазы Ві, ковалентно связанной с СМ-целлюлозой, в одну стадию получили 21 мг (12,2 мкмоль) гуанилил-(3'-5')-уридилил-(3'-5')-цитидина, что составляет 58% от взятого в

Таблица 4

Синтез тетра- и пентануклеотидов с иммобилизованными гуанилрибонуклеазами

Донор	Концентрация, М	Акцептор	Концентрация, М	Фермент, мг/мл	Олигонуклеотид	Выход	Возврат
							%
G > p	0,05	UpUpU	0,4	sil-C ₂ 30	GpUpUpU	13	96
G > p pG > p	0,05	ApApA	0,4	30	GpApApA	10	79
	0,08	TpUpC	0,02	CM-Bi 7,6	pGpTpUpC	20	63
pG > p	0,08	ApUpCpC	0,02	7,6	pGpApUpCpC	22	49

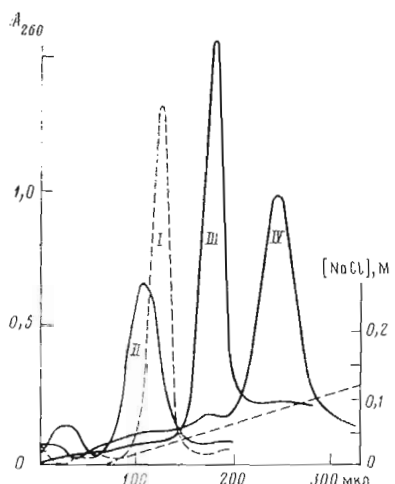


Рис. 2. Микроколоночная хроматография G>p (I), CpC (II), GpCpC (III) и GpApA (IV) на DEAE-целлюлозе

хроматографии и электрофореза на DEAE-целлюлозе в системе Томлисона — Тенера (рис. 2). Их структура была подтверждена ферментативным гидролизом (рибонуклеазой Рb₂ или панкреатической РНКазой) с последующим анализом гидролизата методами хроматографии на бумаге и УФ-спектрофотометрии. Характеристики олигорибонуклеотидов приведены в табл. 5.

Таким образом, иммобилизованные препараты гуанилрибонуклеаз С₂, В₁ и Т₁ — эффективные катализаторы синтеза три-, тетра- и пентапуклеотидов, имеющих остаток гуаниловой кислоты на 5'-конце. Целесообразность использования того или иного фермента определяется нуклеотидным составом синтезируемого олигонуклеотида (см. табл. 3). Тринуклеозидифосфаты, тетра- и пентапуклеотиды, синтезированные из G>p(pG>p) и динуклеозидмонофосфатов или более длинных олигонуклео-

реакцию G>p и 22% в расчете на израсходованный UpC (~75% UpC было регенериировано). Всего получено 90 мг GpUpC.

Наряду с синтезами тринуклеозидифосфатов иммобилизованные гуанилрибонуклеазы были использованы нами для препаративного получения более длинных олигорибонуклеотидов (табл. 4). Удлинение акцептора на один нуклеотидный остаток практически не влияет на выход олигонуклеотида как для пуринилового, так и для пуринового акцептора (ср. синтезы GpUpU, GpApA и GpUpUpU, GpApApA соответственно). В случае 5'-замещенного донора фосфата (pG>p) тетра- и пентапуклеотид образуются с достаточно высоким выходом при избытке донора фосфата.

Все сплитеированные олигонуклеотиды были гомогенны по данным

на бумаге и микрохроматографии на

рибонуклеазой Рb₂ или панкреатической РНКазой) с последующим анализом гидролизата методами хроматографии на бумаге и УФ-спектрофотометрии. Характеристики олигорибонуклеотидов приведены в табл. 5.

Таблица 5

Характеристики синтезированных олигонуклеотидов

Олигонуклеотид	<i>R</i> * в системах		<i>E_{Gp}</i>	Ферментативный гидролиз		УФ-спектр (H ₂ O)	
	A	B		РНКаза	продукты (соотношение)	<i>λ_{max}</i>	<i>λ_{min}</i>
GpCpU	0,86	0,26	0,80	Pb ₂	Gp : Cp : U (1 : 0,8 : 1)	260	230
GpCpC	0,94	0,23	0,78	Панкреатическая	GpCp : C ** (1 : 1)	270	230
GpCpA	1,0	0,50	0,81	Pb ₂	Gp : Cp : A (1 : 1 : 1)	260	235
GpCpG	0,63	0,30	0,75		Gp : Cp : G (1 : 1 : 1)	259	237
GpUpU	1,04		0,85		Gp : Up : U (1,1 : 1 : 1)	258	230
GpUpC	1,0	0,35	0,84	Панкреатическая	GpUp : C ** (1 : 1)	258	229
GpUpA	1,04	0,30	0,74	Pb ₂	Gp : Up : A (1 : 1 : 0,9)	258	232
GpApU	1,05	0,34	0,81		Gp : Ap : U (1 : 0,9 : 1)	259	230
GpApC	0,89	0,30	0,76		Gp : Ap : C (1 : 1 : 0,9)	260	228
GpApA	1,0	0,44	0,76	—	—	—	—
GpApG	0,56	0,41	0,74	—	—	255	230
GpUpUpU	0,38	0,16	0,91	Pb ₂	Gp : Up : U (1 : 2 : 1)	256	236
GpApApA	0,45	0,16	0,83	Pb ₂	Gp : Ap : A (1 : 2 : 1)	258	232
pGpTpUpC	0,30		1,02	—	—	258	230
pGpApUpCpC	0,12		1,0	T ₁	pGp : ApUpCpC (1 : 1,1)	263	233

* В системе А определены относительно Gp, а в системе Б — относительно соответствующего динуклеозидмонофосфата — акцептора.

** Гидролиз РНКазой Pb₂ образовавшихся динуклеотидов GpCp и GpUp приводит к образованию Gp и Cp в отношении 1 : 0,9 и Gp : Up = 1 : 1 соответственно.

тидов, устойчивых к действию гуанилрибонуклеаз, не только служили моделями для проверки предлагаемого способа синтеза, но и использовались нами как субстраты РНК-лигазы [3] или как исходные блоки при получении более крупных фрагментов рибонуклеиновых кислот [26] или их аналогов [27].

Экспериментальная часть

В работе использовали уридин, цитидин, натриевую соль 2',3'-циклофосфата аденоцина (Beanal, Венгрия), циклогексилгуанидиневые соли 2',3'-циклофосфатов гуанозина, цитидина и уридина (Calbiochem, США), которые превращали в аммониевые соли обработкой дауксом 50W×2 (NH_4^+ -форма). Цитидин был дополнительно очищен колоночной хроматографией на дауксе 50W×2 (H^+ -форма; Serva, ФРГ) и на сефадексе G-15 (Pharmacia Fine Chemicals, Швеция).

Получение иммобилизованных препаратов ферментов СМ- Pb_2 , СМ- T_1 , СМ- Bi и sil-C₂ описано в работах [14, 1, 12 и 13] соответственно. Удельная активность этих препаратов, определенная по расщеплению $\text{A} > \text{p}$ (СМ- Pb_2 [14]) или $\text{G} > \text{p}$ (СМ- T_1 [1], СМ- Bi [12]), составляла 0,13; 0,06 и 0,006 ед. акт./мг соответственно. Удельную активность sil-C₂ определяли, используя в качестве субстрата суммарную дрожжевую РНК и принимая за единицу активности количество фермента, дающее увеличение поглощения кислотостойких продуктов на 0,1 ОЕ₂₆₀ при 37°C за 15 мин. Ковалентно связанный с СМ-цеплюзой инакреатическая РИКаза получена от фирмы Merck (ФРГ).

Хроматографию исходящим способом в системах растворителей этанол – пропанол-2 – конц. аммиак – вода, 60:5:10:25 (А); этанол – 1 М ацетат аммония, 7:3 (Б) и вертикальный электрофорез в 0,05 М бикарбонате триэтиламмония (рН 7,6) при напряжении 20 В/см в течение 1,5 ч проводили на бумагах FN-1, FN-2 или FN-15 (Whatman, ГДР), предварительно промытых перед хроматографией соответствующей системой растворителей.

Гомогенность олигонуклеотидов проверяли микроколоночной хроматографией на DEAE-целлюзозе в градиенте концентраций (0–0,2 М) NaCl в 0,01 М триэтиламмония (рН 7,6), содержащем 7 М мочевину; размер колонки 1,2×30 мм; скорость элюции 600 мкл/ч (рис. 2).

УФ-спектры снимали на спектрофотометре Specord, остальные спектрофотометрические измерения проводили на спектрофотометре СФ-26.

Макромасштабные синтезы динуклеозидмонофосфатов. Синтез ArC, ArU и UpC проводили как описано нами ранее [14, 26]. Начальные концентрации субстратов и ферментов, продолжительность инкубации приведены в табл. 1.

Для получения UpU и CpU раствор 140 мг (0,4 ммоль) $\text{U} > \text{p}$ (NH_4^+ -соль) или 145 мг (0,4 ммоль) $\text{C} > \text{p}$ (NH_4^+ -соль) и 388 мг (2 ммоль) или 366 мг (1,5 ммоль) уридина соответственно в 1,6 мл 0,05 М триэтиламмония (рН 7,6) инкубировали с 20 мг рибонуклеазы СМ-А в течение 3 ч. После отделения фермента центрифугированием реакционную смесь в случае UpU наносили на колонку (2,6×40 см) с DEAE-целлюзой в HCO_3^- -форме и элюировали в линейном градиенте концентрации бикарбоната аммония (0–0,1 М, 2 л) со скоростью 1,8 мл/мин, объем фракций – 9,5 мл. В первом случае фракции 96–118, содержащие UpU и U>p, упаривали, удаляли бикарбонат аммония многократным упариванием с 50% этанолом. UpU выделяли затем хроматографией на бумаге в системе А. Получено 25 мг (41,3 мкмоль, 10%) UpU. Во втором случае пуклеозид отделяли от реакционной смеси гель-фильтрацией на сефадексе G-15 в воде, после чего CpU выделяли хроматографией на бумаге в системе А. Выделено 24,3 мг (40,5 мкмоль, 10%) CpU.

CpC синтезировали 1 ч из 54,2 мг (150 мкмоль) $\text{C} > \text{p}$ (NH_4^+ -соль) и 110 мг (450 мкмоль) цитидина в 0,6 мл 0,05 М триэтиламмония (рН 7,6) в присутствии 8 мг рибонуклеазы СМ-А при 0°C. Целевой продукт выделяли так же, как при получении CpU. Выделено 11 мг (11%) CpC.

Препаративные синтезы трипуклеозиддиfosfатов и тетрапуклеозидтрифосфатов. Раствор $\text{G} > \text{p}$ (NH_4^+ -соль) и динуклеозидмонофосфата или трипуклеозиддифосфата в соответствующем буфере инкубировали при 0°C с иммобилизованным ферментом. Синтезы с использованием СМ- T_1 и sil-C₂ проводили в 0,01 М фосфатном буфере (рН 7,0), с СМ- Bi – в 0,1 М триэтиламмония (рН 7,5). Объем реакционной смеси обычно составлял 20–60 мкл. Начальные концентрации субстратов и ферментов и результаты приведены в табл. 2–4. Продолжительность инкубации, как правило, была 24 ч. Реакционную смесь хроматографировали в системе А, полосу с $R_{\text{Gp}}=1,0$ освобождали от примесей электрофорезом и повторной хроматографией в системе В.

Препаративные синтезы тетра- и пентапуклеотида. а) pGpTpUpC: 94,5 ОЕ₂₆₀ (8 мкмоль) $\text{pG} > \text{p}$ и 54 ОЕ₂₆₀ (2 мкмоль) TpUpC инкубировали с 0,76 мг СМ- Bi в 0,1 мл триэтиламмония (рН 7,5) в течение 24 ч при 0°C, фермент удаляли фильтрацией и компоненты реакционной смеси разделяли хроматографией в системе А; полосу с $R_{\text{Gp}}=0,2$, содержащую pGpTpUpC, pGp и TpUpC, элюировали водой и подвергали электрофорезу. Целевой продукт с $E_{\text{Gp}}=1$ элюировали водой и обессоливали на сефадексе G-15 в воде. Выделено 17 ОЕ₂₆₀ (0,43 мкмоль, 21,5%) pGpTpUpC.

б) pGpApUpCpC: синтез проводили аналогично (а) из 131 ОЕ₂₆₀ (11 мкмоль) $\text{pG} > \text{p}$ и 113 ОЕ₂₆₀ (2,8 мкмоль) ApUpCpC. Получено 32 ОЕ₂₆₀ (0,61 мкмоль, 24,8%) pGpApUpCpC.

ЛИТЕРАТУРА

1. Соболева И. А., Хабарова М. И., Женодарова С. М. // Биоорганическая химия. 1985. Т. 11. № 4. С. 508–515.
2. Кнорре Д. Г., Веньяминова А. Г., Женодарова С. М. // Молекулярная биология. 1985. Т. 19. № 6. С. 1703–1705.
3. Майстренко В. Ф., Пустошилова Н. М., Клягина В. П., Седельникова Э. А., Смолянинова О. А., Женодарова С. М. // Биоорганическая химия. 1984. Т. 10. № 4. С. 498–505.
4. Romaniuk E., McLaughlin L. W., Neilson T., Romaniuk P. // Eur. J. Biochem. 1982. V. 125. № 3. Р. 633–643.
5. Веньяминова А. Г., Овчаренко Г. В., Репкова М. Н., Франк Л. А. // Молекулярная биология. 1984. Т. 18. № 5. С. 1376–1379.
6. Женодарова С. М. // Успехи химии. 1970. Т. 39. № 8. С. 1479–1483.
7. Bernfield M. R. // J. Biol. Chem. 1966. V. 241. № 9. Р. 2014–2023.
8. Grünberger D., Holý A., Sorm F. // Coll. Czech. Chem. Commun. 1968. V. 33. № 1. Р. 286–295.
9. Uchida T., Funayama-Machida Ch. // J. Biochem. 1977. V. 81. № 5. Р. 1237–1246.
10. Gassen H. G., Nolte R. // Biochem. and Biophys. Res. Commun. 1971. V. 44. № 6. Р. 1410–1415.
11. Vormbrock R., Morawietz R., Gassen H. G. // Biochim. et biophys. acta. 1974. V. 340. № 3. Р. 348–358.
12. Шарипова Ф. Р., Балабан Н. Н., Рязанов С. М., Лещинская Н. Б., Хабарова М. И., Женодарова С. М. // Биоорганическая химия. 1983. Т. 9. № 4. С. 505–510.
13. Варламов В. П., Бапников Г. Е., Орна Л. А., Безбородова С. И., Рогожин С. В. // Тез. докл. Всероссийской конф. по инж. энзимологии. 1985. Т. 2. С. 251.
14. Соболева И. А., Хабарова М. И., Женодарова С. М. // Биоорганическая химия. 1983. Т. 9. № 1. С. 36–42.
15. Хабарова М. И., Смолянинова О. А., Вагдонас А. С., Коваленко М. И., Женодарова С. М. // Биоорганическая химия. 1978. Т. 4. № 6. С. 740–744.
16. Женодарова С. М., Гуляева В. И., Безбородова С. И. // Биоорганическая химия. 1977. Т. 3. № 11. С. 1475–1478.
17. Lipsett M. N. // J. Biol. Chem. 1964. V. 239. № 4. Р. 1250–1255.
18. Mohr S. C., Thach R. E. // J. Biol. Chem. 1969. V. 244. № 24. Р. 6566–6576.
19. Walz F. G., Terenna B. // Biochemistry. 1979. V. 15. № 13. Р. 2837–2842.
20. Osterman H. L., Walz F. G. // Biochemistry. 1979. V. 18. № 10. Р. 1984–1988.
21. Walz F. G., Osterman H. L., Libertin Ch. // Arch. Biochem. and Biophys. 1979. V. 195. № 1. Р. 95–102.
22. Bezburodova S. I., Khodova O. M., Stepanov V. M. // FEBS Lett. 1983. V. 159. № 12. Р. 256–258.
23. Шляпников С. В., Куликов В. А., Яковлев Г. И. // Биоорганическая химия. 1985. Т. 11. № 3. С. 346–357.
24. Hill Ch., Dodson G., Heinemann U., Saenger W., Mitsui Y., Nakamura K., Borisov S., Tischenko G., Polyakov K., Pavlovsky S. // TIBS. 1983. V. 8. № 10. Р. 364–369.
25. Watanabe H., Ando E., Ohgi K., Irie M. // J. Biochem. 1985. V. 98. № 5. Р. 1239–1245.
26. Женодарова С. М., Клягина В. П., Седельникова Э. А., Смолянинова О. А. // Биоорганическая химия. 1986. Т. 12. № 2. С. 220–229.
27. Хабарова М. И., Женодарова С. М. // Тез. докл. Всероссийской биохимической конференции. 1986. Т. 2. С. 422.

Поступила в редакцию
10.IX.1986;
После доработки
1.XII.1986;

STEPWISE OLIGONUCLEOTIDE SYNTHESIS. XXXIV. PREPARATIVE SYNTHESIS OF TRIRIBONUCLEOSIDE DIPHOSPHATES AND LONGER OLIGORIBONUCLEOTIDES CATALYZED BY IMMOBILIZED RIBONUCLEASES

ZHENODAROVA S. M., SMOLYANINOVA O. A., SOBOLEVA I. A.,
KHABAROVA M. I.

*Institute of Biological Physics, Academy of Sciences of the USSR,
Pushchino, Moscow Region*

Immobilized guanyl-specific ribonucleases from *Aspergillus clavatus* (C₂), *A. oryzae* (T₁), and *Cacillus intermedius* 7P (Bi) have been used for preparative synthesis of ten trinucleoside diphosphates, three tetra- and one pentanucleotide having the only guanylic acid residue at the 5'-end. The nucleotide sequence of the oligonucleotide synthesised determined the choice of the ribonuclease.